

Adopted Levels, Gammas

Type	Author	History	Citation	Literature Cutoff Date
Full Evaluation	Balraj Singh, M. S. Basunia, Murray Martin et al. ,		NDS 160, 405 (2019)	30-Oct-2019

Q( $\beta^-$ )=-4190 50; S(n)=7310 13; S(p)=4952 13; Q( $\alpha$ )=8546 6 2017Wa10  
 S(2n)=12783 14, S(2p)=8180 13 (2017Wa10).

Additional information 1.

Theory references: consult NSR database (www.nndc.bnl.gov/nsr/) for 62 primary references for nuclear structure, and 42 for calculations of half-lives of radioactive decays.

From lifetime measurements, 1988Ga33 conclude that higher spin states exhibit enhanced B(E1) rates of about 0.006 which may be a result of collective dipole deexcitations from a reflection- asymmetric intrinsic state.

<sup>218</sup>Ra Levels

Cross Reference (XREF) Flags

- A <sup>222</sup>Th  $\alpha$  decay (1.964 ms)
- B <sup>208</sup>Pb(<sup>13</sup>C,3n $\gamma$ ),(<sup>14</sup>C,4n $\gamma$ ),

E(level) <sup>†</sup>	J $\pi$ <sup>‡</sup>	T <sub>1/2</sub> <sup>#</sup>	XREF	Comments
0.0 <sup>&amp;</sup>	0 <sup>+</sup>	25.91 $\mu$ s 14	AB	% $\alpha$ =100 Additional information 2. T <sub>1/2</sub> : weighted average of 25.99 $\mu$ s 10 (E. Parr et al., Phys Rev. C 100, 044323 (2019)), 25.2 $\mu$ s 3 (2001Ku07), 26 $\mu$ s 2 (1992Wi14) and 25.6 $\mu$ s 11 (1986To02). Others: 15.6 $\mu$ s 10 (1991AnZZ), 14 $\mu$ s 2 (1970Va13).
388.90 <sup>&amp;</sup> 10	2 <sup>+</sup>	29.8 ps 28	AB	J $\pi$ : E2 $\gamma$ to 0 <sup>+</sup> .
741.10 <sup>&amp;</sup> 14	4 <sup>+</sup>	19.4 ps 35	B	J $\pi$ : $\Delta$ J=2, E2 $\gamma$ to 2 <sup>+</sup> .
793.21 <sup>a</sup> 18	(3 <sup>-</sup> )		AB	J $\pi$ : $\Delta$ J=1, D $\gamma$ to 2 <sup>+</sup> .
853 <sup>a</sup> 6	(1 <sup>-</sup> )		A	E(level): from E $\alpha$ and Q( $\alpha$ ) values. J $\pi$ : on the basis of the similarity in the hindrance factor for the 853 level with that of the 793 level, and the $\gamma$ to 0 <sup>+</sup> , 2016Pa28 propose that the 853 level is the bandhead of the octupole band.
1038.32 <sup>a</sup> 18	5 <sup>-</sup>		B	J $\pi$ : $\Delta$ J=1, E1 $\gamma$ to 4 <sup>+</sup> .
1122.04 <sup>&amp;</sup> 20	6 <sup>+</sup>	13.2 ps 28	B	J $\pi$ : $\Delta$ J=2, E2 $\gamma$ to 4 <sup>+</sup> ; E1 $\gamma$ to 5 <sup>-</sup> .
1340.85 <sup>a</sup> 21	7 <sup>-</sup>	@	B	J $\pi$ : $\Delta$ J=1, E1 $\gamma$ to 6 <sup>+</sup> ; $\Delta$ J=2, E2 $\gamma$ to 5 <sup>-</sup> .
1546.70 <sup>&amp;</sup> 23	8 <sup>+</sup>	@	B	J $\pi$ : $\Delta$ J=1, E1 $\gamma$ to 7 <sup>-</sup> ; $\Delta$ J=2, E2 $\gamma$ to 6 <sup>+</sup> .
1573.01 19	(3 <sup>-</sup> ,4,5 <sup>-</sup> )		B	J $\pi$ : $\gamma$ rays to (3 <sup>-</sup> ) and 5 <sup>-</sup> .
1694.35 <sup>a</sup> 25	9 <sup>-</sup>	@	B	J $\pi$ : $\gamma$ to 8 <sup>+</sup> ; $\Delta$ J=2, E2 $\gamma$ to 7 <sup>-</sup> .
1714.60 25			B	J $\pi$ : $\gamma$ to 4 <sup>+</sup> .
1725.8 3			B	J $\pi$ : $\gamma$ to 5 <sup>-</sup> .
1803.60 24			B	J $\pi$ : $\gamma$ rays to 6 <sup>+</sup> and 7 <sup>-</sup> .
1855.9 3			B	J $\pi$ : $\gamma$ to 6 <sup>+</sup> .
1896.8 3			B	J $\pi$ : $\gamma$ to 8 <sup>+</sup> .
1961.7 <sup>&amp;</sup> 3	10 <sup>+</sup>	@	B	J $\pi$ : $\Delta$ J=1, E1 $\gamma$ to 9 <sup>-</sup> ; $\Delta$ J=2, E2 $\gamma$ to 8 <sup>+</sup> .
2031.8 3			B	J $\pi$ : $\gamma$ to 9 <sup>-</sup> .
2109.3 <sup>a</sup> 3	11 <sup>-</sup>	@	B	J $\pi$ : $\Delta$ J=2, E2 $\gamma$ to 9 <sup>-</sup> ; $\Delta$ J=1, D $\gamma$ to 10 <sup>+</sup> .
2328.3 4			B	
2390.8 <sup>&amp;</sup> 3	12 <sup>+</sup>	<1.4 ps	B	J $\pi$ : $\Delta$ J=1, E1 $\gamma$ to 11 <sup>-</sup> ; $\Delta$ J=2, E2 $\gamma$ to 10 <sup>+</sup> .
2420.0 <sup>b</sup> 3	(12 <sup>-</sup> )		B	J $\pi$ : $\Delta$ J=1, (M1+E2) $\gamma$ to 11 <sup>-</sup> .
2442.4 4			B	
2465.6 3			B	J $\pi$ : $\gamma$ to 10 <sup>+</sup> .
2526.3 <sup>a</sup> 3	13 <sup>-</sup>	<4.9 ps	B	J $\pi$ : $\Delta$ J=1, E1 $\gamma$ to 12 <sup>+</sup> ; $\Delta$ J=2, E2 $\gamma$ to 11 <sup>-</sup> .

Continued on next page (footnotes at end of table)

Adopted Levels, Gammas (continued) $^{218}\text{Ra}$  Levels (continued)

E(level) <sup>†</sup>	$J^\pi$ <sup>‡</sup>	$T_{1/2}$ <sup>#</sup>	XREF	Comments
2825.5 <sup>&amp; 3</sup>	14 <sup>+</sup>	<1.4 ps	B	$J^\pi$ : $\Delta J=1$ , E1 $\gamma$ to 13 <sup>-</sup> ; $\Delta J=2$ , E2 $\gamma$ to 12 <sup>+</sup> .
2966.4 <sup>a 4</sup>	15 <sup>-</sup>	<1.4 ps	B	$J^\pi$ : $\Delta J=1$ , E1 $\gamma$ to 14 <sup>+</sup> ; $\Delta J=2$ , E2 $\gamma$ to 13 <sup>-</sup> . $T_{1/2}$ : This $T_{1/2}$ leads to B(E2)(W.u.)>218, a factor of about 3 larger than any of the other E2 or E1 reduced transition probabilities. The $T_{1/2}$ limit may be a typo.
2967.2 <sup>b 4</sup>	(14 <sup>-</sup> )		B	$J^\pi$ : $\Delta J=2$ , E2 $\gamma$ to (12 <sup>-</sup> ); $\gamma$ to 13 <sup>-</sup> .
3285.1 <sup>&amp; 4</sup>	16 <sup>+</sup>		B	$J^\pi$ : $\gamma$ rays to 14 <sup>+</sup> and 15 <sup>-</sup> .
3387.7 <sup>b 7</sup>	(16 <sup>-</sup> )		B	$J^\pi$ : $\gamma$ to (14 <sup>-</sup> ).
3388.8 <sup>a 4</sup>	17 <sup>-</sup>	<13 ps	B	$J^\pi$ : $\Delta J=2$ , E2 $\gamma$ to 15 <sup>-</sup> ; $\gamma$ to 16 <sup>+</sup> .
3719.8 <sup>b 7</sup>	(18 <sup>-</sup> )		B	$J^\pi$ : $\gamma$ rays to (16 <sup>-</sup> ) and 17 <sup>-</sup> .
3756.0 <sup>&amp; 7</sup>	18 <sup>+</sup>		B	$J^\pi$ : $\gamma$ to 17 <sup>-</sup> , and member of g.s. band.
3805.9 <sup>a 8</sup>	19 <sup>-</sup>		B	$J^\pi$ : $\gamma$ rays to 17 <sup>-</sup> , (18 <sup>-</sup> ) and 18 <sup>+</sup> .
4117.7 <sup>b 9</sup>	(20 <sup>-</sup> )		B	$J^\pi$ : $\gamma$ rays to (18 <sup>-</sup> ) and 19 <sup>-</sup> .
4191.1 <sup>?&amp; 11</sup>	(20 <sup>+</sup> )		B	$J^\pi$ : $\gamma$ rays to 18 <sup>+</sup> and 19 <sup>-</sup> .
4212.6 <sup>a 10</sup>	(21 <sup>-</sup> )		B	$J^\pi$ : $\gamma$ to 19 <sup>-</sup> .
4391.6 <sup>c 11</sup>	(21 <sup>+</sup> )		B	$J^\pi$ : $\gamma$ to (20 <sup>-</sup> ).
4588.3 <sup>&amp; 11</sup>	(22 <sup>+</sup> )		B	$J^\pi$ : $\gamma$ to (21 <sup>-</sup> ).
4675.3 <sup>a 10</sup>	(23 <sup>-</sup> )		B	$J^\pi$ : $\gamma$ rays to (21 <sup>-</sup> ) and (22 <sup>+</sup> ).
4682.6 <sup>b 10</sup>	(22 <sup>-</sup> )		B	$J^\pi$ : $\gamma$ rays to (20 <sup>-</sup> ) and (21 <sup>-</sup> ).
4835.5 <sup>c 11</sup>	(23 <sup>+</sup> )		B	$J^\pi$ : $\gamma$ rays to (21 <sup>+</sup> ), (22 <sup>+</sup> ) and (22 <sup>-</sup> ).
5020.3 <sup>&amp; 12</sup>	(24 <sup>+</sup> )		B	$J^\pi$ : $\gamma$ rays to (22 <sup>+</sup> ) and (23 <sup>-</sup> ).
5125.4 <sup>a 13</sup>	(25 <sup>-</sup> )		B	$J^\pi$ : $\gamma$ rays to (23 <sup>-</sup> ) and (24 <sup>+</sup> ).
5139.4 <sup>b 11</sup>	(24 <sup>-</sup> )		B	$J^\pi$ : $\gamma$ rays to (22 <sup>-</sup> ) and (23 <sup>+</sup> ).
5363.5 <sup>c 13</sup>	(25 <sup>+</sup> )		B	$J^\pi$ : $\gamma$ rays to (23 <sup>+</sup> ) and (24 <sup>-</sup> ).
5470.1 <sup>&amp; 13</sup>	(26 <sup>+</sup> )		B	$J^\pi$ : $\gamma$ rays to (24 <sup>+</sup> ) and (25 <sup>-</sup> ).
5588.1 <sup>a 13</sup>	(27 <sup>-</sup> )		B	$J^\pi$ : $\gamma$ rays to (25 <sup>-</sup> ) and (26 <sup>+</sup> ).
5901.7 <sup>&amp; 14</sup>	(28 <sup>+</sup> )		B	$J^\pi$ : $\gamma$ rays to (26 <sup>+</sup> ) and (27 <sup>-</sup> ).
6134.9 <sup>a 15</sup>	(29 <sup>-</sup> )		B	$J^\pi$ : $\gamma$ rays to (27 <sup>-</sup> ) and (28 <sup>+</sup> ).
6343.8 <sup>&amp; 15</sup>	(30 <sup>+</sup> )		B	$J^\pi$ : $\gamma$ rays to (28 <sup>+</sup> ) and (29 <sup>-</sup> ).
6678.8 <sup>a 16</sup>	(31 <sup>-</sup> )		B	$J^\pi$ : $\gamma$ rays to (29 <sup>-</sup> ) and (30 <sup>+</sup> ).

<sup>†</sup> From a least-squares fit to the adopted  $E\gamma$  data except for the 853 level which comes from the  $E(\alpha)$  branch to that level.

<sup>‡</sup> From  $\gamma(\theta)$  and  $\gamma(\text{lin pol})$  data in  $^{208}\text{Pb}(^{13}\text{C},3n\gamma)$ , and association of levels in bands or sequences. Additional  $\gamma$  mult arguments are given explicitly.

<sup>#</sup> From recoil-distance Doppler-shift method in inverse kinematic reaction:  $^{13}\text{C}(^{208}\text{Pb},3n\gamma)(1988\text{Ga33})$ . No delayed component with a half-life longer than 5 ns was observed for any of the transitions (1986Go21).

<sup>@</sup> 1988Ga33 deduced  $T_{1/2}=3.1$  ps 4 for 1341, 7<sup>-</sup>; 2.3 ps 3 for 1547, 8<sup>+</sup>; 5.9 ps 6 for 1694, 9<sup>-</sup>; 2.6 ps 4 for 1962, 10<sup>+</sup>; and 4.2 ps 5 for 2109, 11<sup>-</sup> levels using average B(E2) for transitions from some of the above levels.

<sup>&</sup> Band(A):  $K^\pi=0^+$  g.s. band.

<sup>a</sup> Band(B): Octupole band.

<sup>b</sup> Seq.(C):  $\gamma$  sequence based on 12<sup>-</sup>.

<sup>c</sup> Seq.(D):  $\gamma$  sequence based on (21<sup>+</sup>).

Adopted Levels, Gammas (continued)

$\gamma(^{218}\text{Ra})$								
$E_i(\text{level})$	$J_i^\pi$	$E_\gamma^\dagger$	$I_\gamma^\dagger$	$E_f$	$J_f^\pi$	Mult. <sup>‡</sup>	$a^\#$	Comments
388.90	2 <sup>+</sup>	388.9 1	100	0.0	0 <sup>+</sup>	E2	0.0727	B(E2)(W.u.)=25.5 24
741.10	4 <sup>+</sup>	352.2 1	100	388.90	2 <sup>+</sup>	E2	0.0954	B(E2)(W.u.)=63 12
793.21	(3 <sup>-</sup> )	404.3 2	100	388.90	2 <sup>+</sup>	D		
853	(1 <sup>-</sup> )	853		0.0	0 <sup>+</sup>			
1038.32	5 <sup>-</sup>	245.1 2		793.21	(3 <sup>-</sup> )			
		297.3 2		741.10	4 <sup>+</sup>	E1	0.0359	
1122.04	6 <sup>+</sup>	83.7 2	35 7	1038.32	5 <sup>-</sup>	(E1)	0.177 3	B(E1)(W.u.)=0.0057 17
		380.9 2	100 6	741.10	4 <sup>+</sup>	E2	0.0769	B(E2)(W.u.)=46 11
1340.85	7 <sup>-</sup>	218.8 1	100 5	1122.04	6 <sup>+</sup>	E1	0.0729	
		302.6 2	8.7 22	1038.32	5 <sup>-</sup>	E2	0.1482	
1546.70	8 <sup>+</sup>	205.8 2	100 7	1340.85	7 <sup>-</sup>	E1	0.0843	
		424.6 2	71 20	1122.04	6 <sup>+</sup>	E2	0.0578	
1573.01	(3 <sup>-</sup> ,4,5 <sup>-</sup> )	534.7 2		1038.32	5 <sup>-</sup>			
		779.8 2		793.21	(3 <sup>-</sup> )			
		831.9 2		741.10	4 <sup>+</sup>			
1694.35	9 <sup>-</sup>	147.5& 2	100& 45	1546.70	8 <sup>+</sup>		0.190	
		353.6 2	58 20	1340.85	7 <sup>-</sup>	E2	0.0943	
1714.60		973.5 2		741.10	4 <sup>+</sup>			
1725.8		687.5 2	100	1038.32	5 <sup>-</sup>			
1803.60		462.7 2		1340.85	7 <sup>-</sup>			
		681.6 2		1122.04	6 <sup>+</sup>			
1855.9		733.9 2	100	1122.04	6 <sup>+</sup>			
1896.8		350.1 2	100	1546.70	8 <sup>+</sup>			
1961.7	10 <sup>+</sup>	267.3 1	100 5	1694.35	9 <sup>-</sup>	E1	0.0457	
		415.0& 2	36& 9	1546.70	8 <sup>+</sup>	E2	0.0613	
2031.8		337.5 2	100	1694.35	9 <sup>-</sup>			
2109.3	11 <sup>-</sup>	77.5 2		2031.8				
		147.5& 2	42& 42	1961.7	10 <sup>+</sup>		0.190	
		415.0& 2	100& 25	1694.35	9 <sup>-</sup>	E2	0.0613	
2328.3		472.4 2	100	1855.9				
2390.8	12 <sup>+</sup>	281.4 2	100 7	2109.3	11 <sup>-</sup>	E1	0.0407	B(E1)(W.u.)>0.004
		429.3 2	33 7	1961.7	10 <sup>+</sup>	E2	0.0562	B(E2)(W.u.)>84
2420.0	(12 <sup>-</sup> )	310.6 2	100	2109.3	11 <sup>-</sup>	(M1+E2)	0.4 3	
2442.4		410.6 2	100	2031.8				
2465.6		503.9 2		1961.7	10 <sup>+</sup>			
		568.8 2		1896.8				
2526.3	13 <sup>-</sup>	106.1 2		2420.0	(12 <sup>-</sup> )			
		135.6 2	33 3	2390.8	12 <sup>+</sup>	E1	0.230	B(E1)(W.u.)>0.0034
		416.9 2	100 27	2109.3	11 <sup>-</sup>	E2	0.0606	B(E2)(W.u.)>80
2825.5	14 <sup>+</sup>	299.3 2	100 28	2526.3	13 <sup>-</sup>	E1	0.0354	B(E1)(W.u.)>0.0035
		434.8@ 2	<45	2390.8	12 <sup>+</sup>	E2	0.0544	$E_\gamma$ : double placement, with intensity not divided.
2966.4	15 <sup>-</sup>	140.9 2	32 5	2825.5	14 <sup>+</sup>	E1	0.210	B(E1)(W.u.)>0.011
		440.0 2	100 5	2526.3	13 <sup>-</sup>	E2	0.0528	B(E2)(W.u.)>218
2967.2	(14 <sup>-</sup> )	142		2825.5	14 <sup>+</sup>			
		440.8 2		2526.3	13 <sup>-</sup>			
		547.3 2		2420.0	(12 <sup>-</sup> )	E2	0.0313	
3285.1	16 <sup>+</sup>	318.7	100 20	2966.4	15 <sup>-</sup>			
		459.7	60 20	2825.5	14 <sup>+</sup>			
3387.7	(16 <sup>-</sup> )	420.5	100	2967.2	(14 <sup>-</sup> )			
3388.8	17 <sup>-</sup>	104		3285.1	16 <sup>+</sup>			
		422.4 2		2966.4	15 <sup>-</sup>	E2	0.0586	
3719.8	(18 <sup>-</sup> )	331		3388.8	17 <sup>-</sup>			
		332.1 3		3387.7	(16 <sup>-</sup> )			

Continued on next page (footnotes at end of table)

Adopted Levels, Gammas (continued)

$\gamma(^{218}\text{Ra})$ (continued)						
$E_i(\text{level})$	$J_i^\pi$	$E_\gamma^\dagger$	$I_\gamma^\dagger$	$E_f$	$J_f^\pi$	Comments
3756.0	18 <sup>+</sup>	367		3388.8	17 <sup>-</sup>	
		471 <sup>a</sup>		3285.1	16 <sup>+</sup>	
3805.9	19 <sup>-</sup>	50		3756.0	18 <sup>+</sup>	
		86		3719.8	(18 <sup>-</sup> )	
		417		3388.8	17 <sup>-</sup>	
4117.7	(20 <sup>-</sup> )	312		3805.9	19 <sup>-</sup>	
		398		3719.8	(18 <sup>-</sup> )	
4191.1?	(20 <sup>+</sup> )	385		3805.9	19 <sup>-</sup>	
		434.8 <sup>@</sup>	2	3756.0	18 <sup>+</sup>	E <sub>γ</sub> : double placement, with intensity not divided.
4212.6	(21 <sup>-</sup> )	406.6	100	3805.9	19 <sup>-</sup>	
4391.6	(21 <sup>+</sup> )	274	100	4117.7	(20 <sup>-</sup> )	
4588.3	(22 <sup>+</sup> )	376		4212.6	(21 <sup>-</sup> )	
		397 <sup>a</sup>		4191.1?	(20 <sup>+</sup> )	
4675.3	(23 <sup>-</sup> )	87		4588.3	(22 <sup>+</sup> )	
		462.7 <sup>@</sup>		4212.6	(21 <sup>-</sup> )	
4682.6	(22 <sup>-</sup> )	291 <sup>a</sup>		4391.6	(21 <sup>+</sup> )	
		470		4212.6	(21 <sup>-</sup> )	
		565		4117.7	(20 <sup>-</sup> )	
4835.5	(23 <sup>+</sup> )	153		4682.6	(22 <sup>-</sup> )	
		247		4588.3	(22 <sup>+</sup> )	
		444		4391.6	(21 <sup>+</sup> )	
5020.3	(24 <sup>+</sup> )	345 <sup>@</sup>		4675.3	(23 <sup>-</sup> )	
		432 <sup>@</sup>		4588.3	(22 <sup>+</sup> )	
5125.4	(25 <sup>-</sup> )	105		5020.3	(24 <sup>+</sup> )	
		450 <sup>@</sup>		4675.3	(23 <sup>-</sup> )	
5139.4	(24 <sup>-</sup> )	304		4835.5	(23 <sup>+</sup> )	
		457		4682.6	(22 <sup>-</sup> )	
		464 <sup>a</sup>		4675.3	(23 <sup>-</sup> )	
5363.5	(25 <sup>+</sup> )	224		5139.4	(24 <sup>-</sup> )	
		528		4835.5	(23 <sup>+</sup> )	
5470.1	(26 <sup>+</sup> )	345 <sup>@</sup>		5125.4	(25 <sup>-</sup> )	
		450 <sup>@</sup>		5020.3	(24 <sup>+</sup> )	
5588.1	(27 <sup>-</sup> )	118		5470.1	(26 <sup>+</sup> )	
		463 <sup>@</sup>		5125.4	(25 <sup>-</sup> )	
5901.7	(28 <sup>+</sup> )	313		5588.1	(27 <sup>-</sup> )	
		432 <sup>@</sup>		5470.1	(26 <sup>+</sup> )	
6134.9	(29 <sup>-</sup> )	233		5901.7	(28 <sup>+</sup> )	
		547		5588.1	(27 <sup>-</sup> )	
6343.8	(30 <sup>+</sup> )	209		6134.9	(29 <sup>-</sup> )	
		442		5901.7	(28 <sup>+</sup> )	
6678.8	(31 <sup>-</sup> )	335		6343.8	(30 <sup>+</sup> )	
		544		6134.9	(29 <sup>-</sup> )	

<sup>†</sup> From  $^{208}\text{Pb}(^{13}\text{C},3n\gamma),(^{14}\text{C},4n\gamma)$  dataset.

<sup>‡</sup> From  $\gamma(\theta)$  and  $\gamma(\text{lin pol})$  data in  $^{208}\text{Pb}(^{13}\text{C},3n\gamma)$ .

<sup>#</sup> Total theoretical internal conversion coefficients, calculated using the BrIcc code (2008Ki07) with Frozen orbital approximation based on  $\gamma$ -ray energies, assigned multipolarities, and mixing ratios, unless otherwise specified.

<sup>@</sup> Multiply placed.

<sup>&</sup> Multiply placed with intensity suitably divided.

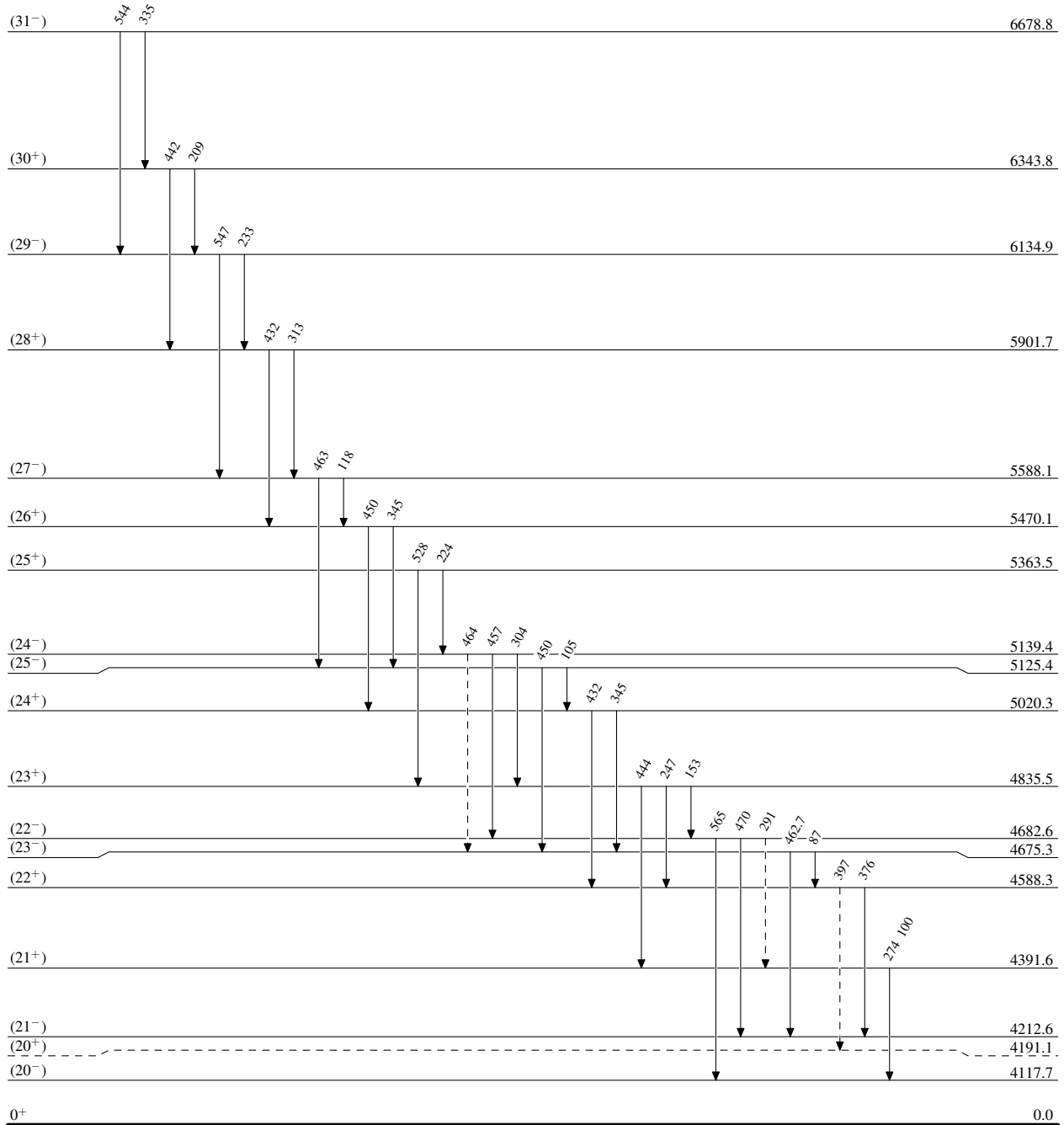
<sup>a</sup> Placement of transition in the level scheme is uncertain.

**Adopted Levels, Gammas**

Legend

Level Scheme

Intensities: Relative photon branching from each level

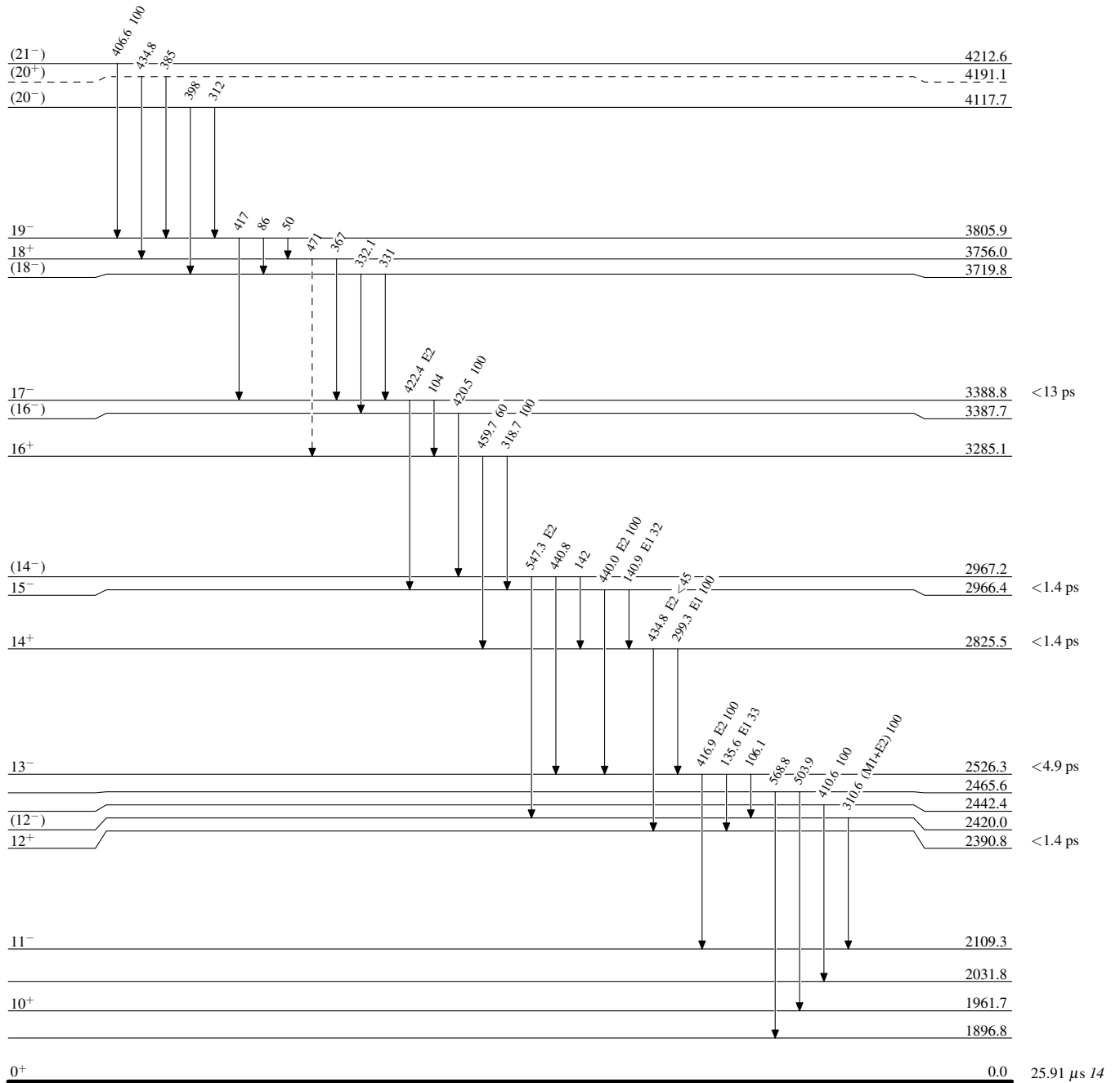
-----▶  $\gamma$  Decay (Uncertain) $^{218}_{88}\text{Ra}_{130}$ 25.91  $\mu\text{s}$  14

**Adopted Levels, Gammas**

Legend

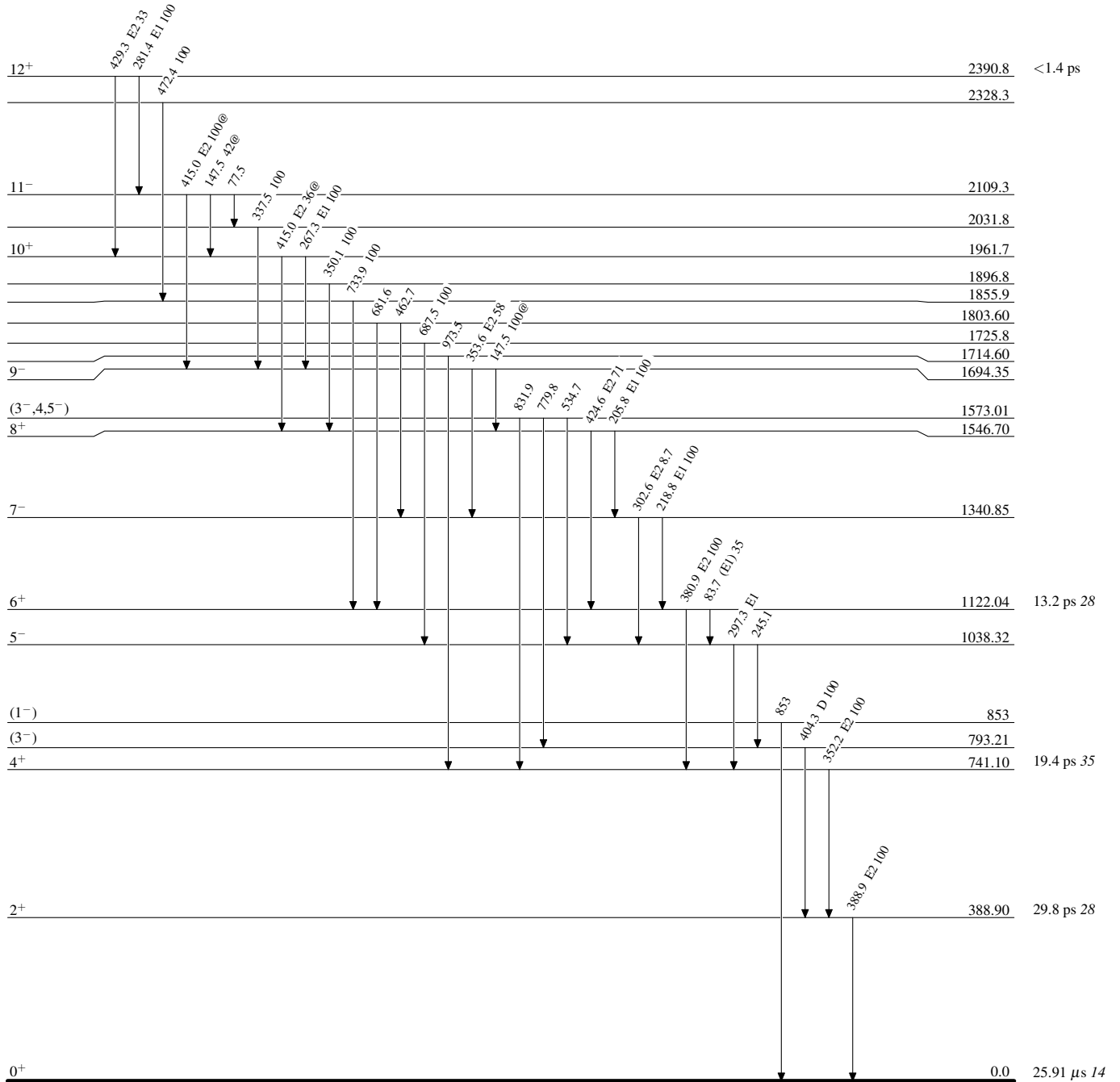
**Level Scheme (continued)**

Intensities: Relative photon branching from each level

-----►  $\gamma$  Decay (Uncertain) $^{218}_{88}\text{Ra}_{130}$

**Adopted Levels, Gammas****Level Scheme (continued)**

Intensities: Relative photon branching from each level  
 @ Multiply placed: intensity suitably divided

 $^{218}_{88}\text{Ra}_{130}$

Adopted Levels, Gammas